

#### (四) 混合气体中呋喃浓度的影响

在反应温度为 $110^{\circ}\text{C}$ ，空间速度为530左右的条件下，研究混合气体中呋喃浓度对反应结果的影响，得到表III中的结果。

表III 呋喃浓度的影响

呋喃浓度 (克分子) %	空间速度 升(混合 气)体 升(催化 剂)小时	呋喃加 料速度 升(液态 呋喃) 升(催化 剂)小时	呋喃轉 化率 %	四氫呋 喃产率 %	四氫呋喃 收获率 %
9.9	540	0.174	94.5	97.2	91.9
18.3	560	0.343	92.2	93.5	86.2
28.0	505	0.456	70.8	91.2	64.6
31.2	510	0.516	64.2	88.2	56.0

故转化率和产率都随浓度的降低而增高，然而当浓度低于18.3%以下，则影响变弱。

按上列研究结果，作者等认为从呋喃气相当压生产四氢呋喃的最宜条件范围是：反应温度 $110^{\circ}\text{C}$ ，空间流速450~550，呋喃浓度18~20%，呋喃的转化率达90%左右，四氢呋喃的产率达93~95%。在上述研究的条件范围内，反应产物中主要的副产品和高压加氢过程相同，亦是正丁醇，其产率随空间速度的降低和反应温度的上升而增高。

本项研究由杭州化工研究所董廉观同志协助完成。

严之光 汪仁

(华东化工学院 中国科学院化学研究所)

1958年11月25日

- [1] 汪仁、严之光、李世瑞，科学通报，1958年第14期，434~435页。  
[2] 汪仁、严之光、李世瑞，同上，436~437页。

## 我国水白云母耐火粘土的发现

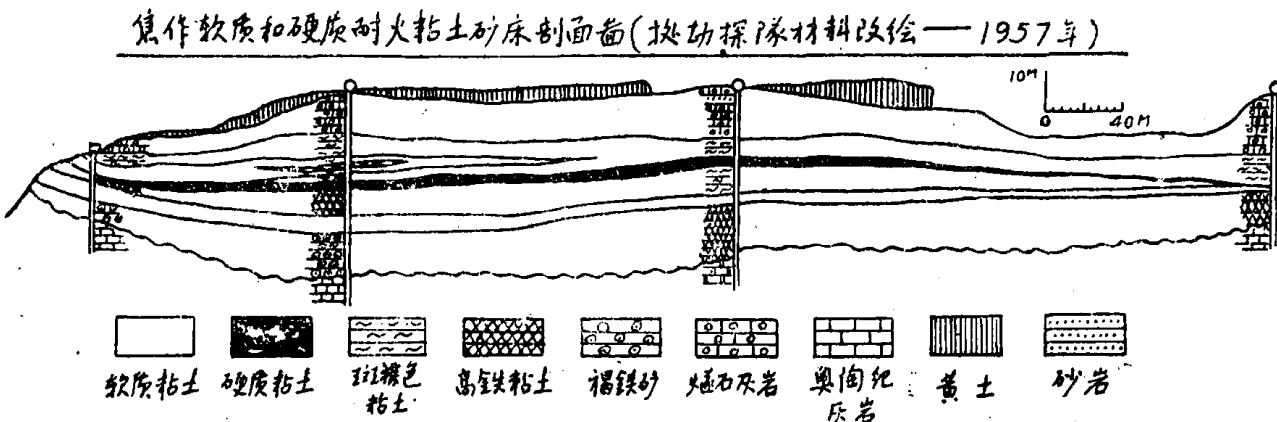
我国耐火粘土分布广泛，但无论硬质软质粘土多为高岭石单矿物沉积矿床，而水白云母类型的矿床迄未见到。根据作者的研究，河南焦作耐火粘土含大量的水白云母，特别是硬质粘土有时成为单矿的水白云母粘土岩。

### 一 矿床地质

在华北地台奥陶纪灰岩的不整合面上普遍发育着耐火粘土和铝土矿，焦作矿区也不例外。但焦作的生成时代和巩县一样，为上石炭纪底部，而其他各地（特别是北部）皆为中石炭纪底部，焦作产铝土矿很少，硬质粘土较多。在矿物和成因等方面更有独特之处。

焦作矿区岩层简单，构造也不很复杂。主要岩石为奥陶纪灰岩，其上为上石炭纪岩层，由8—9层煤、6—7层灰岩或燧石灰岩与砂页岩等组成；其底部即为耐火粘土和铝土矿，以褐铁矿（山西式铁矿）与奥陶纪灰岩相接。岩层全厚100—130米。再上为石炭二叠纪山西系，主要为煤层及砂页岩等陆相沉积，厚120米左右。再上为二叠纪红色砂岩及砂页岩等陆相沉积，新生代的红土层及砾石层。矿区构造主要受燕山运动影响，产生许多阶梯断层，断层走向近于东西。

焦作矿区以硬质粘土最发育，又可分上下两层，下层常与软质粘土伴生或互变（见矿床剖面图，下层硬质粘土已全部变为软质粘土）。矿层厚度1.78—2.95米，最厚可达8.15米。软质粘土厚度1.46—2.40米，呈大扁豆体产出，最厚可达4米。上层硬



质粘土厚度为1.14—1.55米。在两层硬质粘土之间常夹有2—4米的斑杂色粘土或粘土砂岩。在硬质粘土之上为斑杂色粘土，或粘土质砂页岩扁豆体。斑杂色粘土系含铁、钙、砂质等杂质的粘土，呈浅灰、黄、红褐色等。层厚一般在1—1.5米，成层状分布，

层位稳定。其上的粘土质砂页岩都不稳定，一般厚约1米。整个粘土矿层顶板为燧石灰岩，厚12米，含大量上石炭纪化石，与粘土矿层成整合连续沉积关系。

在某些情况，整个粘土分层更多，变化也很大。高铝粘土分布很少，一般在上层硬质粘土的底部或互变。

## 二 焦作耐火粘土的种类

焦作耐火粘土以硬质和软质产量较多，有显著的

工业价值。高铝和半软质粘土则较少。其化学成分如表1，矿物成分如表2。

表 1

粘 土 化学成分		Al <sub>2</sub> O <sub>3</sub>	SiO <sub>2</sub>	TiO <sub>2</sub>	Fe <sub>2</sub> O <sub>3</sub>	CaO	MgO	K <sub>2</sub> O	Na <sub>2</sub> O	灼 减	耐火度
硬质粘土	自~到	45.10~31.39	53.20~40.08	2.06~0.81	3.18~0.54	1.27~0.29	0.76~0.16	2.06~0.19	0.98~0.06	14.00~8.44	1770~1690
	平均	38.25	46.30	1.44	1.86	0.78	0.46	1.12	0.52	11.22	
软质粘土	自~到	40.16~32.06	50.86~42.05	1.64~0.24	2.04~0.18	2.60~0.18	1.12~0.20	3.38~0.68	1.06~0.08	14.42~9.23	>1770~1650
	平均	36.11	46.46	0.94	1.11	1.39	0.66	2.03	0.57	11.82	
高铝粘土	自~到	41.14~76.20	20.68~43.66	0.56~2.98	2.05~3.50	0.29~1.16	0.02~0.71	0.16~0.52	0.08~0.24	11.08~13.22	>1770~1730
	平均	58.67	31.17	1.77	2.77	0.74	0.38	0.34	0.16	12.15	
半软质粘土	自~到	32.10~46.24	36.20~45.20	1.06~1.89	2.06~1.62	0.98~0.15	0.76~0.28	2.56~0.44	0.84~0.08	13.68~7.12	1750~1710
	平均	39.17	40.70	1.47	1.84	0.56	0.52	1.50	0.46	10.40	

表 2

矿物 含量 粘土	主 要 成 分				次要成分(含杂质情况)
	高岭石	水白云母	水铝石	三水铝石	
硬质粘土	40~50%	40%	10%以下	—	石英、赤铁矿、伊利石云母、电气石、铝英石、有机物、榍石、金红石、蛋白石及针铁矿等。
软质粘土	30%	50%以上	—	10~20%	褐铁矿、石英、酸性斜长石、伊利石云母、电气石、铝英石、榍石、金红石、方解石、蛋白石及有机物等。
高铝粘土	10~20%	20%	60%以上	—	褐铁矿、电气石、赤铁矿、铝英石、榍石及方解石等。
半软质粘土	30~40%	20%	10%以下	10%以下	伊利石云母(20~30%)、褐铁矿、石英、长石、电气石、铝英石、榍石、有机物及方解石等。

(1)【硬质粘土】致密状、坚硬，用铁锤也不易击碎，在水中不松散，间或具稀疏的假晶状，浅灰、深灰、黑色等。有时由水白云母的针状、片状微晶构成(图2)，有时由胶体高岭石组成，或者为二者的混合体。有时还有水铝石的粗晶形成假晶，夹杂其间。

水铝石单晶可达1毫米，或为粗粒聚晶，但其边部均

现参差状或锯齿状(图3)，并不具同心圆构造。有时水铝石还呈针状细晶，星散分布于水白云母和高岭石胶体的混合体中。整个矿石常呈碎屑构造、致密针状片状构造、胶体状构造，或微具假晶状构造，显然此种粘土岩系以机械沉积为主的混合沉积。

(2)【软质粘土】白色或灰白色，土状，似高岭

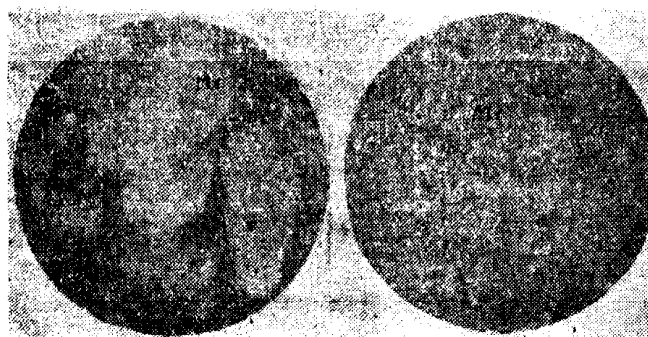


图1 隐出水白云母 MT 颗粒，基质集合体组成“砂粒”，基质由胶体高岭石 K 组成。正交偏光。×25 (软质粘土)

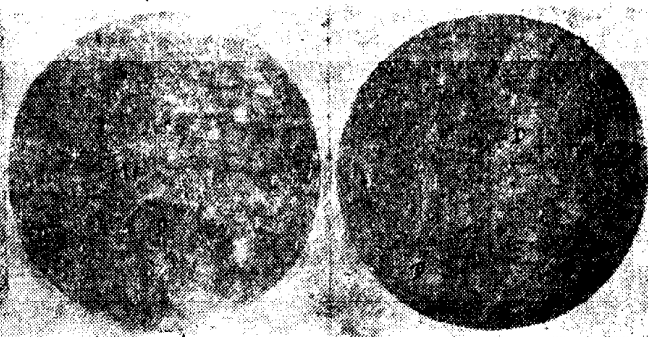


图2 绝大部分由针状水白云母 MT 组成。正交偏光。×60 (硬质粘土)

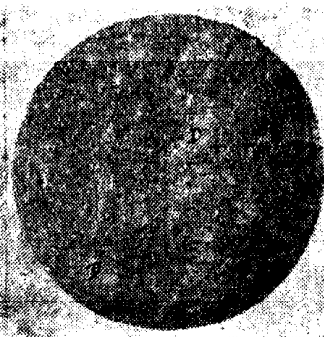


图3 水铝石 D 呈假晶，大部分基质由水白云母 MT 及胶体高岭石 K 组成。正交偏光。×40 (硬质粘土)

土，細致松軟，染手。在水中易泡散。可塑性一般為 $f_{1.6}$ —3.0，最大可達3.3。主要矿物为水白云母和膠体高嶺石，还有10—20%的三水鋁矿（較均勻分布于水白云母中）。岩石多呈碎屑狀或“砂狀”結構（图1），即水云母呈微晶集合体構成“砂粒”，膠体高嶺石为膠結物。这种砂粒有时是扁圓的也有菱角狀的。这也說明軟質粘土是以机械沉积为主的混合沉积，并且搬运距离更短。

(3) 高鋁粘土——层位不稳定，分布较少，有时过渡为黑色硬質粘土。質坚硬，致密，微具假輪狀構造，青灰或黑色，參差狀斷口，主要由他形粗粒狀的水鋁石組成，或成集合体。不具同心圓構造，并有流紋狀構造、碎屑狀構造（图4）。其膠結物为水白云母及膠体高嶺石。显然这种高鋁粘土系古风化壳經机械搬运而成的沉积矿床，和巩县鋁土矿有部分相似。但数量上则少得多，并最适于作耐火材料。在成因上和山东等地（尤其是二迭紀鋁土矿）的膠体化学沉积不同。

(4) 半軟質粘土——为硬質和軟質粘土的一种过渡类型，因而和硬質与軟質粘土的性質相差不算很大，但一般层位不稳定，含杂质較多，顏色也有不同，在工业上价值較小。有时其中还含有針狀或紡錘狀的水鋁石細晶，呈單晶星散分布。伊利水云母含的較多，这也是它含杂质較多的一个原因。其成因也是以机械沉积为主的混合沉积。

### 三 水白云母的研究

水白云母为水云母和高嶺石之間的一种过渡型矿物，1938年为Д. С. 别良金院士在恰索夫—雅尔耐火粘土矿床发现。在我国尚未見到过，現將作者在焦作硬質耐火粘土內發現的水白云母矿物介紹如下：

水白云母在焦作四种耐火粘土內均有。分布不均匀，在硬質粘土內有时形成單矿粘土岩。手标本呈浅灰色，真比重2.6815，參差狀斷口，土狀光澤。

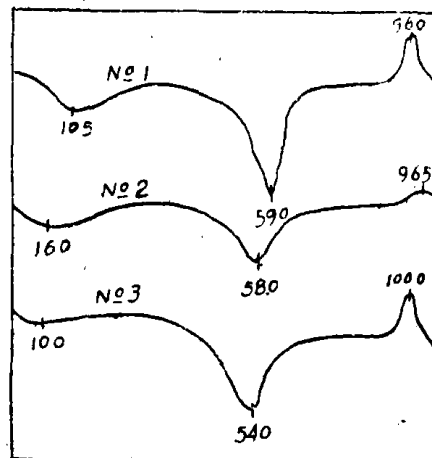
(1) 鏡下觀察——无色透明，呈片狀，針狀或紡錘狀。粒徑一般在0.01~0.05毫米左右，也有大到

0.3毫米以上的。 $2V=20^{\circ}$ ±，(一)光性。其折光率比較如表3。

表 3

矿床	折光率 $N_g$	$N_m$	$N_p$	$\frac{N_g}{N_p}$	测定者
焦作	—	1.556~ 1.565	—	0.020	刘長齡
Часов-яр	—	1.555~ 1.560	—	0.020	Д. С. 别良金
Лешка	1.576	—	1.553	0.023	Д. С. 别良金 В. В. 拉萍 В. П. 彼得罗夫
Красный сумы	1.571	1.570	1.541	0.025	И. А. 夏門拉依 И. Д. 謝德列夫 基

(2) 差热分析——在100~200°C間脫吸附水的小谷不显著，系在成岩作用中排出部分所致。540°C的排出結構水的吸热谷很剧烈，其溫度較高嶺石要低30~40°C。1000°C左右的放热峯由于結晶相变而引起的，当含 $K_2O$ 量較少时，其峯比較高而銳（見下图）。



差热曲綫图

№ 1. (布什庫里)水白云母(据 И. И. Гинзбург)

№ 2. (恰索夫-雅尔)水白云母(И. И. Гинзбург)

№ 3. (焦作)水白云母

(3) 脱水分析——即在加热过程中（自0°~1000°C）矿物重量的损失（表4）：

表 4

矿物	0~100°	200°	300°	400°	500°	600°	700°	800°	1000°	总 共	附 註
伊利水云母	2.10	0.58	0.29	1.84	2.19	0.98	0.23	0.04	0.83	9.98	据格利姆
水白云母(恰索夫-雅尔)	4.30	0.7	0	2.0	3.5	0.5	0	0.4	—	11.4	据别良金
水白云母(焦作)	0.3~3.2*	6.5	0	2.4	3.3	0.3	0	0.3	—	7.0~9.7	

\* 在硬質粘土內較少，一般在1%以下；軟質粘土內可达3.0%以上。

(4) X射線分析——系用粉末法（相机直徑53.7mm, FeK $\alpha$ , 40KV, 8MA, 2时30分）（表5）。

表 5

恰索夫-雅尔 (Н. И. Горбунов)		焦作水白云母 (分析—刘長齡)	
dA	I/I <sub>0</sub>	dA	I/I <sub>0</sub>
9.60	特强	—	—
7.80	弱	—	—
6.70	“	—	—
5.60	“	—	—
(4.80)	中弱	—	—
4.35	中	4.50	80
4.17	中弱	4.15	70
3.78	特弱	—	—
(3.56)	中弱	3.51	40
3.43	中	—	—
3.26	特强	3.12	100
3.15	特弱	—	—
(2.80)	中	—	—
2.53	强	2.56	70
2.43	特弱	2.44	70
2.32	中弱	2.30	10
(2.18)	中弱	2.14	50
2.06	中弱	2.10	45
1.97	中强	1.88	30
1.79	中强	1.83	60
(1.78)	特弱	—	—
1.71	“	—	—
(1.67)	弱	1.68	20
1.64	强	1.63	50
1.53	中强	—	—
1.48	强	1.49	80
1.40	特弱	1.438	15
1.36	强	1.38	50
1.33	特弱	1.37	50
(1.32)	“	1.30	25
1.29	弱	1.285	25
(1.28)	中强	1.27	30
1.19	中	1.23	30
1.15	“	—	—

(5) 化学分析——焦作水白云母的  $\text{SiO}_2 : \text{R}_2\text{O}_3$  比值在 2~3 之間,  $\text{K}_2\text{O} : \text{Na}_2\text{O}$  比值約在 6~7 之間 (表 6)。这和苏联所产水白云母相似。

表 6

产地 化学成分	(焦作) 水白云母		(恰索夫-雅尔) 水白云母		莫克罗波里斯克水白云母
	自 ~ 到	平均	自 ~ 到	平均	
$\text{SiO}_2$	60.18~45.15	52.67	52.62~49.34	50.98	63.80
$\text{Al}_2\text{O}_3$	28.26~34.50	31.38	29.48~34.18	31.83	22.36
$\text{TiO}_2$	1.30~1.20	1.30	1.00~0.88	0.94	1.36
$\text{Fe}_2\text{O}_3$	0.89~0.162	0.53	1.14~1.04	1.09	1.11
$\text{MgO}$	0.33~0.06	0.20	0.46~0.29	0.38	0.54
$\text{CaO}$	0.07~0.02	0.05	0.55~0.50	0.53	0.35
$\text{Na}_2\text{O}$	0.31~0.12	0.22	0.42~0.69	0.51	0.34
$\text{K}_2\text{O}$	2.06~0.76	1.41	2.87~2.46	2.67	1.64
$\text{SO}_3$	0.12~0.01	0.07	0.20~0.17	0.10	—
$\text{H}_2\text{O}^+$	6.49~9.05	7.76	8.43~10.64	9.54	7.72
$\text{H}_2\text{O}^-$	2.12~0.30	1.21	3.12~0	1.56	1.72
总 量	101.82~101.33	101.57	100.29~100.10	100.29	100.94

刘 長 齡

(河北地質勘探公司岩石矿物研究室)

1958年8月23日

[1] И. И. Тинзбург: Минералы древней коры выве-

## 四 三水鋁矿在軟質粘土內的發現

焦作粘土內是否有三水鋁矿存在, 我們曾花了很多時間才能確定。因为在薄片內三水鋁矿很象水白云母, 但二者光性不同。我們在所有能測光性的晶体中所測的光性都是(一)光性。又在几百個試样化驗結果內灼減一般不超过 14%。因而確定焦作粘土內主要成分为水白云母。但在軟質粘土和半軟質粘土大批差熱分析曲線內几乎都在 300°C 左右有一小吸热谷, 并在同一标本內化驗氧化鐵不及 1% 或 0.5%, 因而不是褐鐵矿而是三水鋁矿所致(并經 X 射線及其热处理后的驗証)。

在华北地台鋁土矿和耐火粘土內迄未見到三水鋁矿。因而在焦作軟質粘土內三水鋁矿的發現, 具有很重大的意義。以“大地構造為鋁土矿一水型和三水型的唯一決定因素”的學說, 從焦作矿区的情況來看, 已站不住腳。顯然由於介質的酸性和礆性、反應速度等不同。我們可以確定焦作水鋁石鋁土矿不是由三水鋁矿轉變來的, 更不是以膠體化學沉積的方式在現在矿区生成的, 而是機械搬運來的。

我國耐火粘土內第一次發現三水鋁矿, 因而增添了我國一個新的粘土類型。由於三水鋁矿一般在 20% 以下作均勻分布, 使水白云母的軟質粘土的灼減多在 15% 以內。這對工業價值(耐火材料)沒有影響, 反而由於  $\text{Al}_2\text{O}_3$  的含量增大, 提高了粘土的耐火度。

目前焦作等地開展從粘土中“土法煉鋁”, 此種粘土又為最理想的原料。

травнія Урала (Москва), 1951.

[2] Ф. В. Нухров: Коллоиды в земной коре, 1955.

[3] 华北地質勘探公司第二勘探队: 焦作耐火粘土勘探总结报告, 1954 (内部資料)。